

企画セッション
「東京大学アタカマ天文台のサイエンス戦略」

TAO PROJECT

The University of Tokyo Atacama Observatory

6.5m 望遠鏡計画の概要

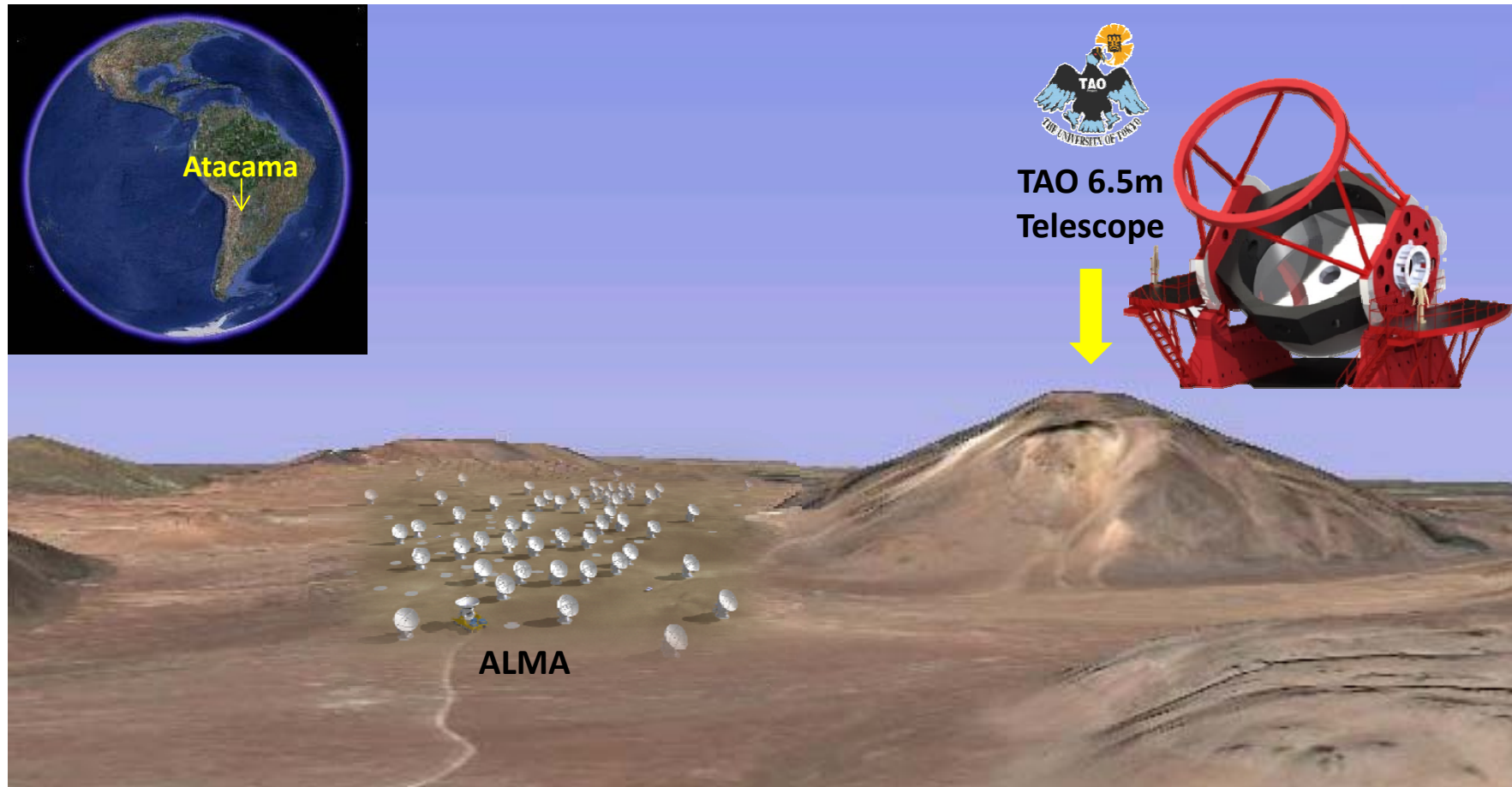
東京大学理学系研究科 吉井 譲





TAO project : Overview

- ✓ 口径6.5m光赤外線望遠鏡をチリ・アタカマの世界最高地点(5,640m)に建設
- ✓ 赤外線の広い窓を活用し、宇宙論から太陽系まで広範なサイエンスを実施
- ✓ 次世代を担う大学院生・若手育成を重視し、サーベイ・萌芽的研究を推進





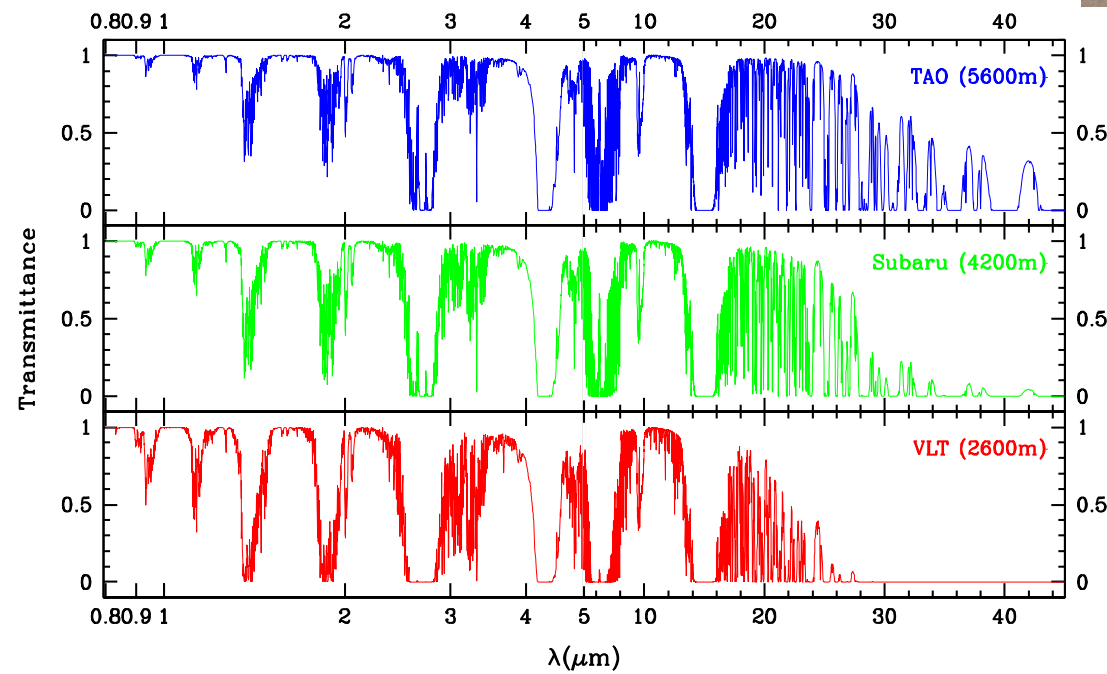
Site

サイト：チリ北部アタカマ砂漠 チャナントール山山頂
標高5,640m



“世界で最も優れた赤外線観測サイト”

✓ 低水蒸気量による抜群の大気透過率



- ✓ 良好的なシーリング環境 (Median $\sim 0.68''$)
- ✓ 高い晴天率

→ これらは、miniTAO 1m望遠鏡による観測で実証済み



TAO 6.5m Telescope

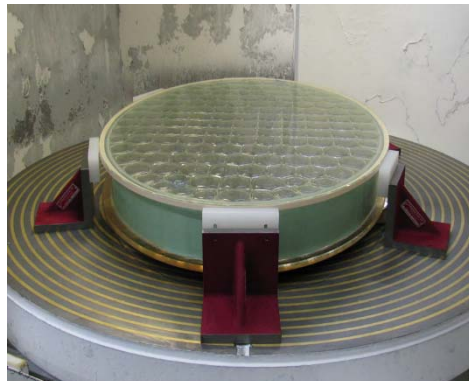
TAO 6.5m望遠鏡
2012年度の補正予算により製作を開始





Mirrors

Mirror(M1/M2/M3)+Cell
アリゾナ大学ミラーラボで製作
2017年夏以降にチリへと輸送





Telescope Mount

Telescope Mount

国内工場で組み立て調整中
2017年夏以降にチリへと輸送



© Nishimura Co. Ltd.



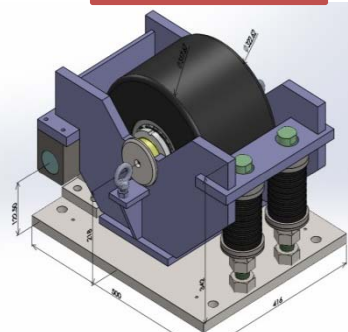
Enclosure

Enclosure

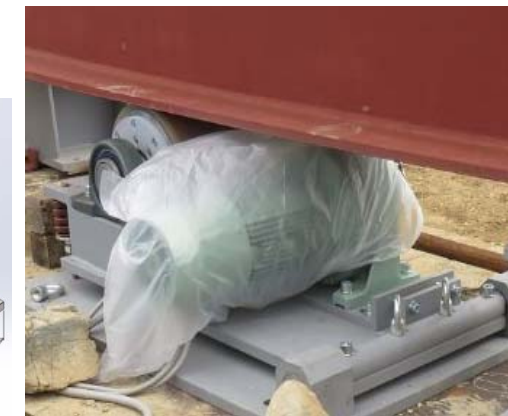
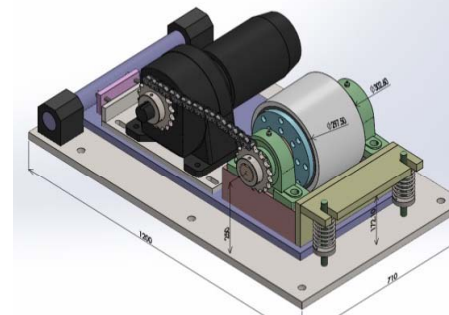
上部の駆動部分は国内で製作中
2016夏から国内で仮組試験



水平台車



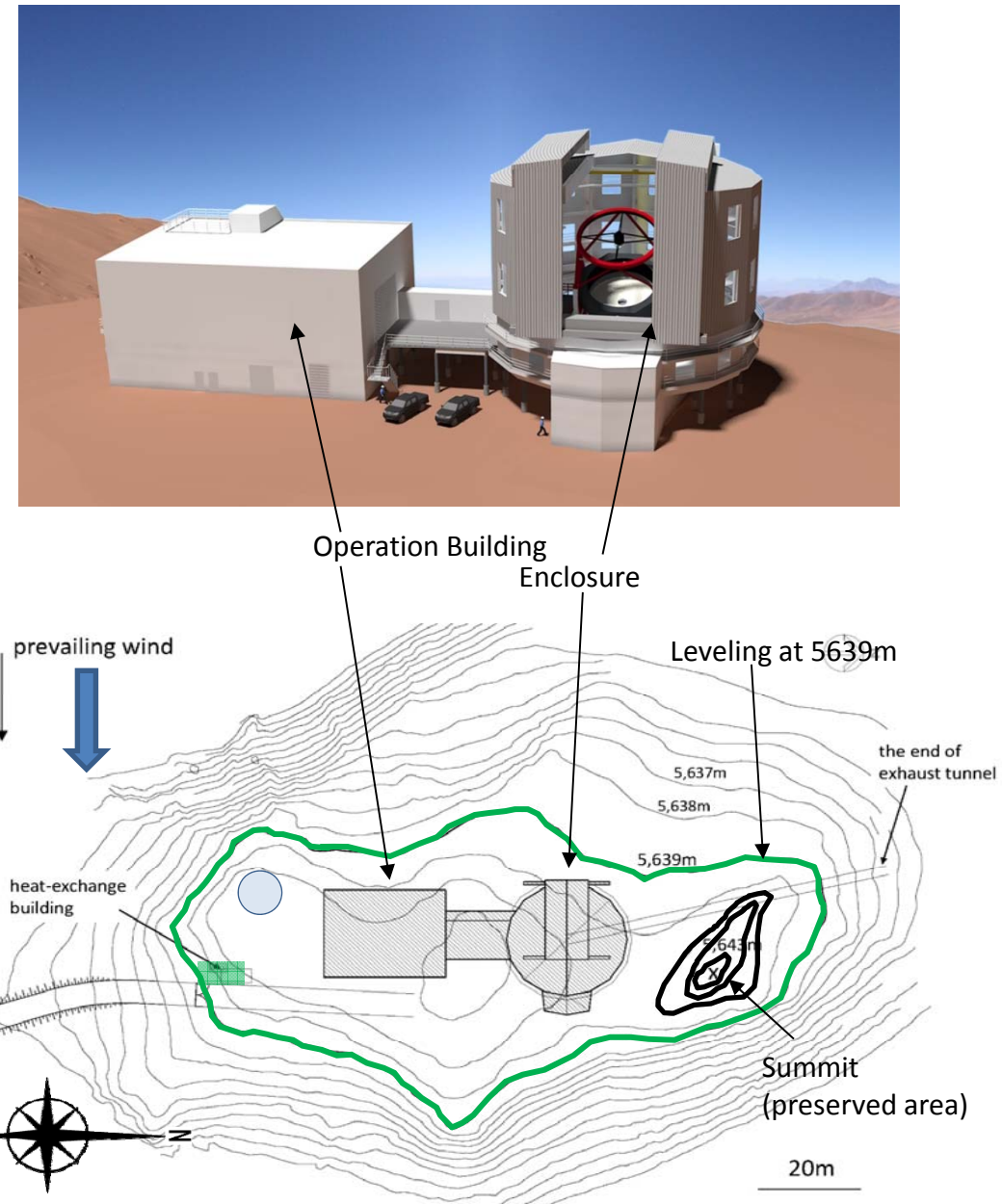
驅動車輪





Summit Facility

- ✓ 山頂に2つの建物
 - Enclosure
 - Operation Building
- ✓ 風向を考慮し、南北にレイアウト





Coating System

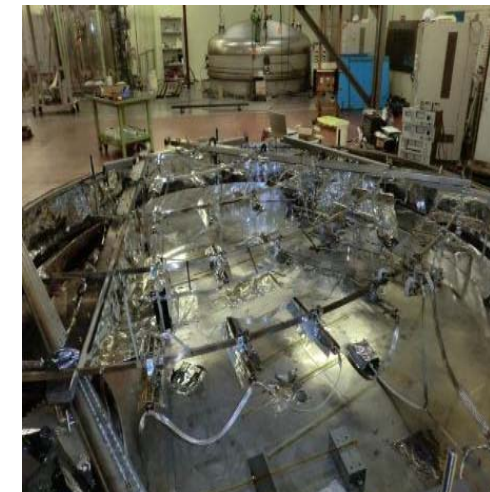
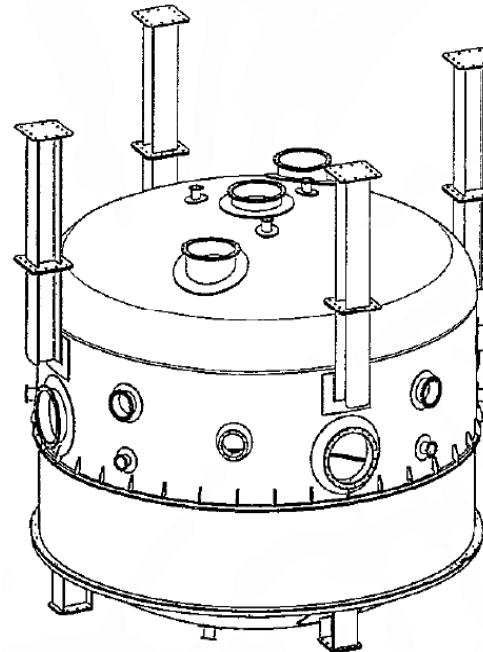
Coating System

蒸着試験は完了

蒸着チャンバーは現在詳細設計中

移動台車・洗浄システムは完成

国内倉庫で保管中



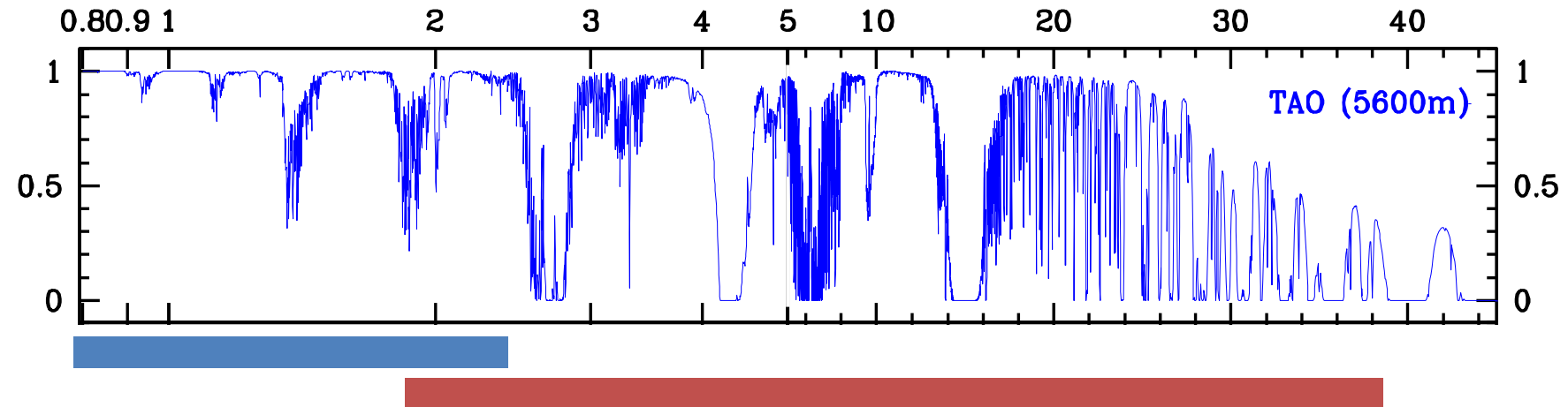


Instruments

第一期觀測裝置

SWIMS for near-infrared (0.8-2.5μm)

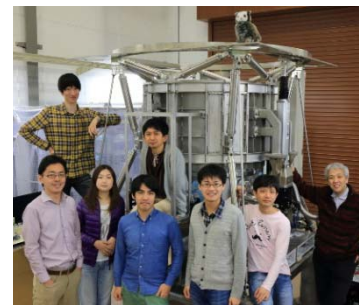
MIMIZUKU for mid-infrared (2-38μm)



SWIMS



MIMIZUKU

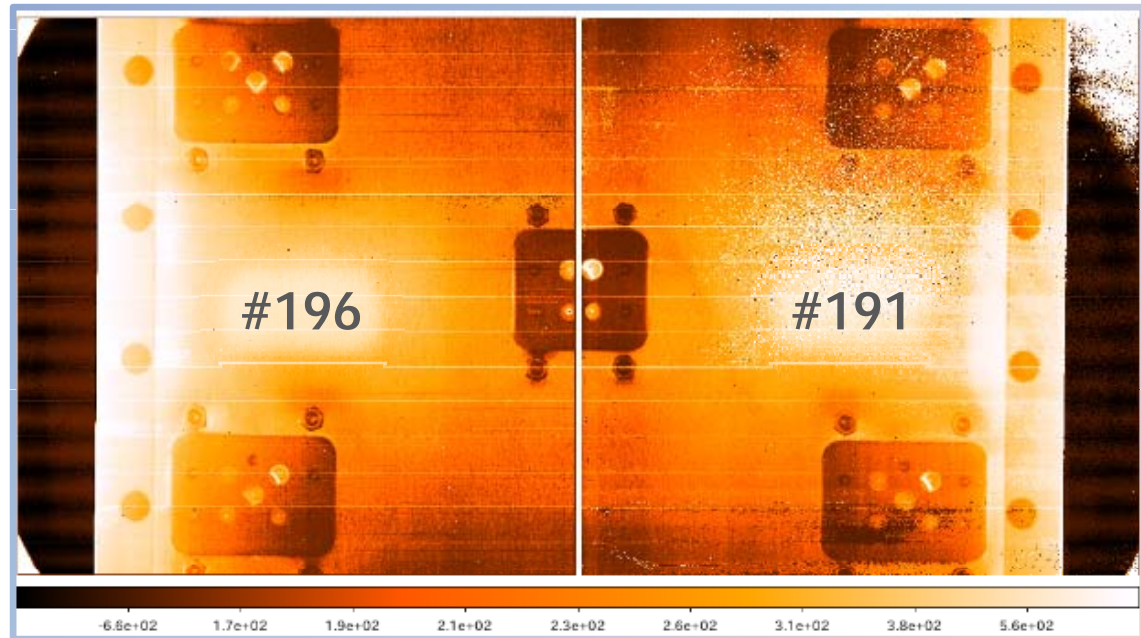




Instruments : SWIMS

近赤外線観測装置 SWIMS

- Two color (0.9-1.4/1.4-2.5um) imaging
- Multi-object spectroscopy / IFU
- Hawaii-2RG arraysを4台(最終的には8台)



- 全体の組み上げ試験実施中
- 実験室での Engineering first light に成功

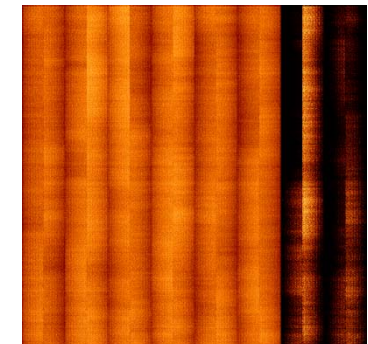
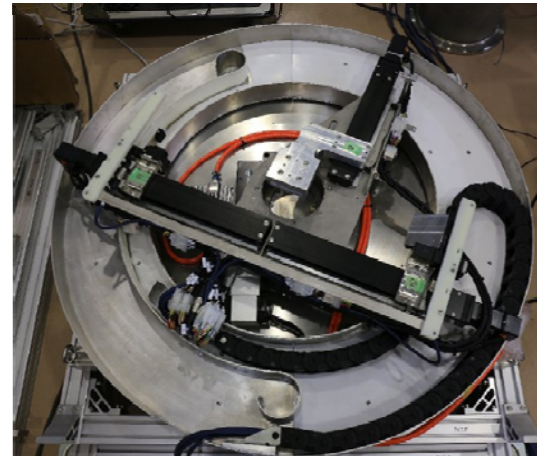
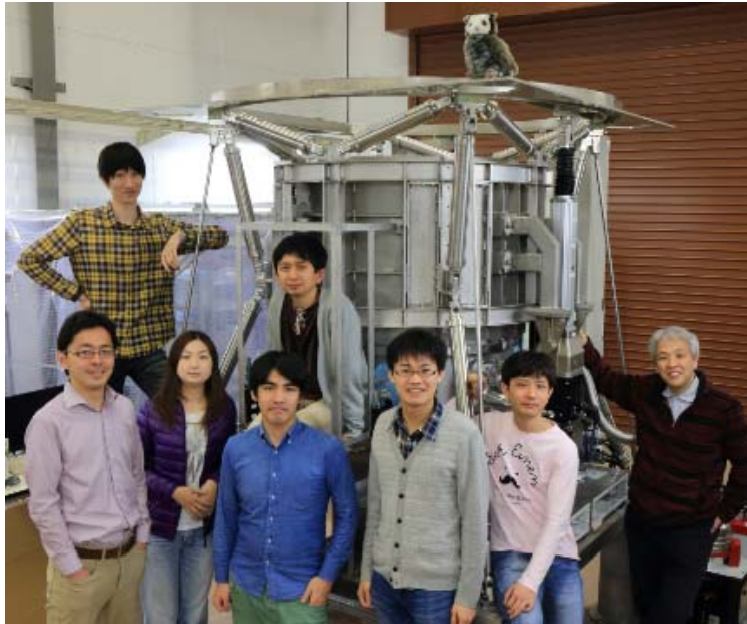
→ V228b(小西他)を参照



Instruments : MIMIZUKU

中間赤外線観測装置 MIMIZUKU

- 広い波長カバレッジ(2-38um)
H1RG(5um-cutoff) / Si:As 1k / Si:Sb MF-128
- 新規光学ユニット“Field Stacker”による高精度測光



- 個別ユニットの開発はほぼ完了
- 全体の組み上げ試験が間もなく開始

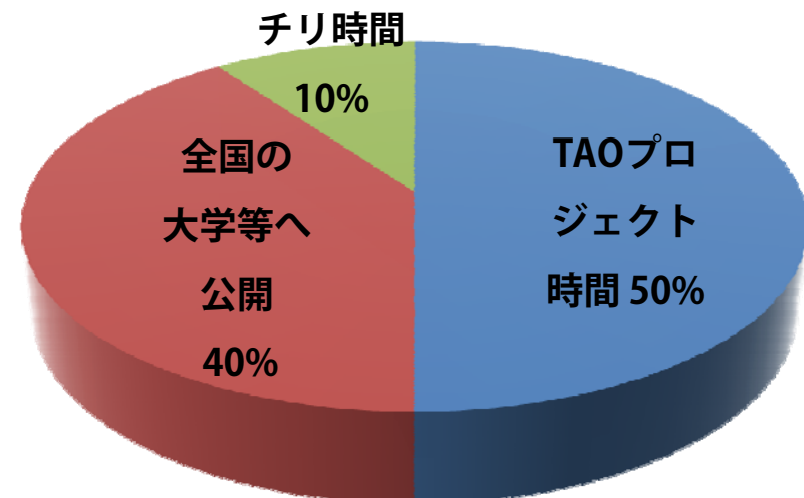
→ V229b(上塚他)を参照



Telescope Time

観測時間の利用方法

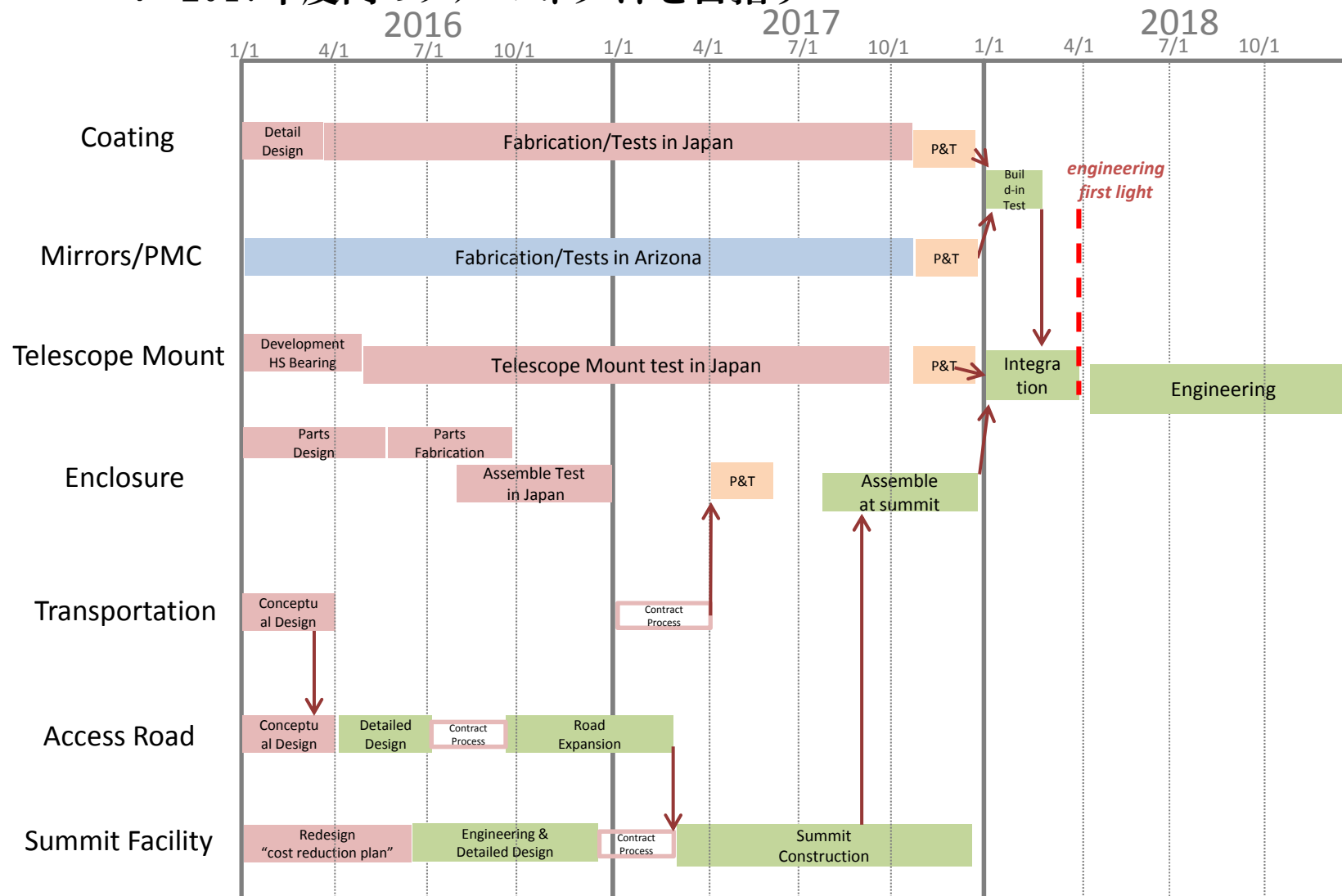
50%をプロジェクト時間、40%を全国の大学に開放
プロジェクト時間も含め、共同研究を推進
→ 全国の大學生の学位取得のための観測を優先





Schedule

- ✓ 主要部品は日本およびアメリカで2017年秋までに調整し輸送
- ✓ 山頂建設は2017年度、それに先立って2016年度にアクセス道路拡張
- ✓ 2017年度内のファーストライトを目指す





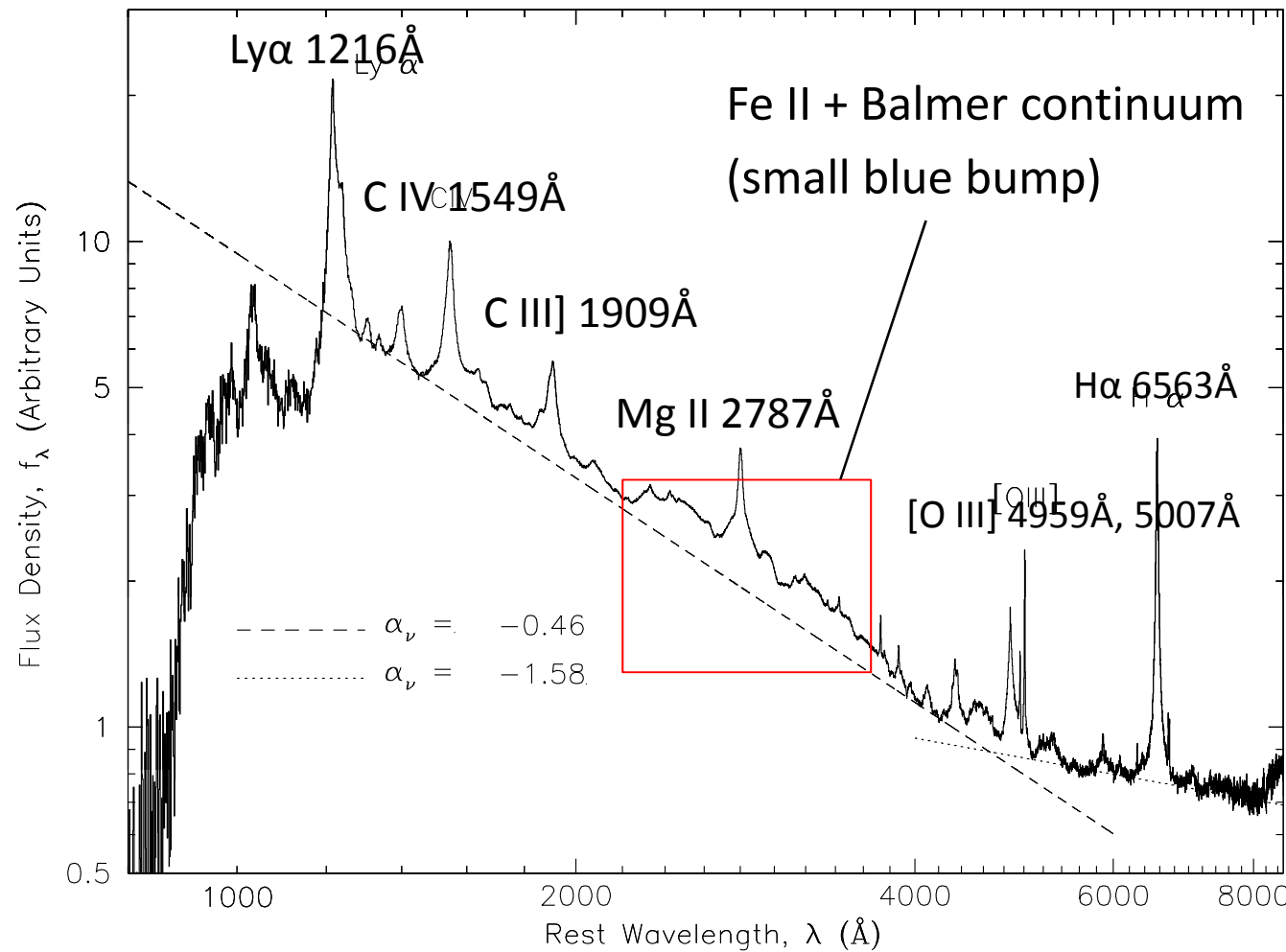
Key Science 1 :

Cosmic Chemical Evolution probed by high-z QSO

TAO による近赤外分光観測



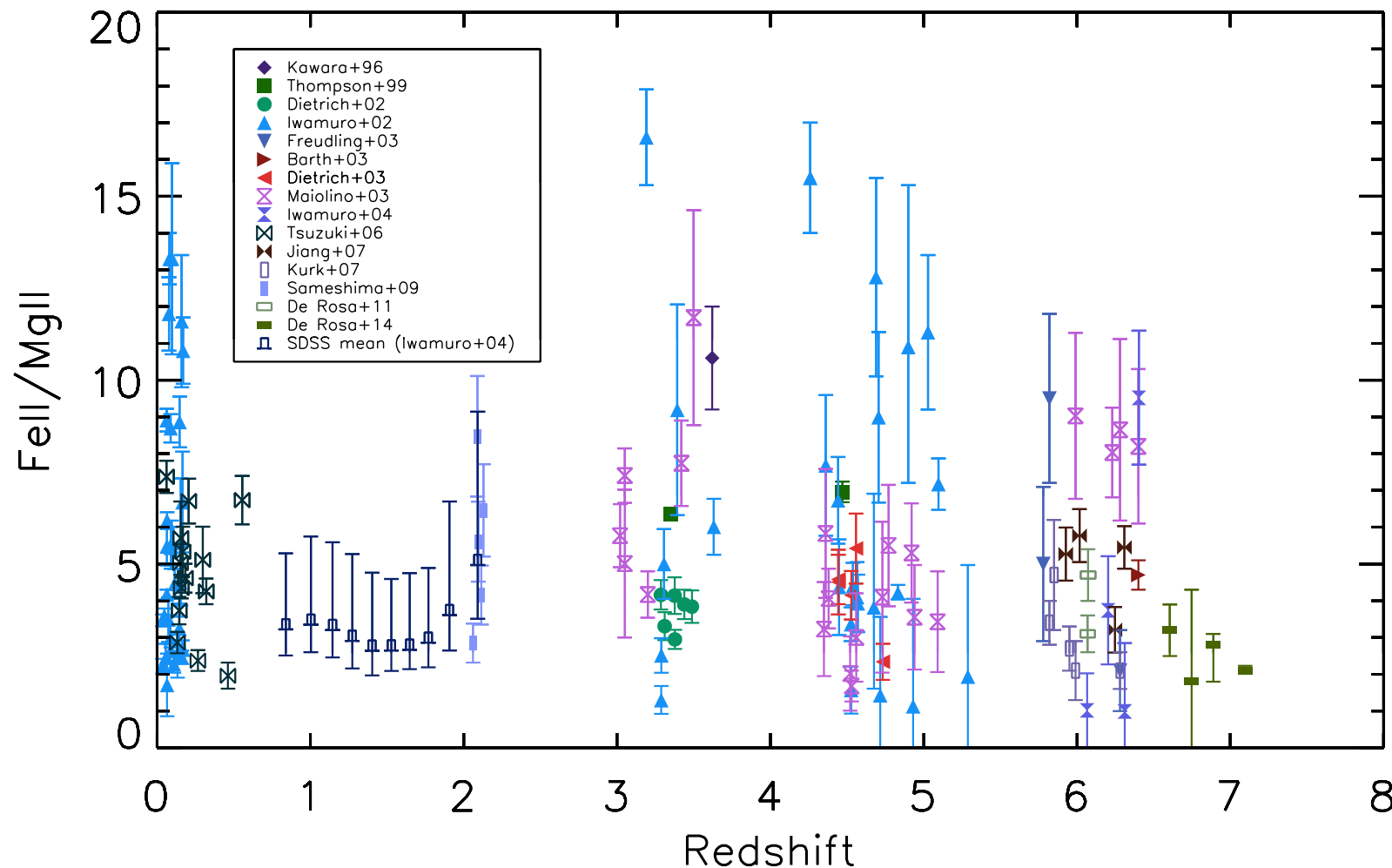
QSO Spectrum



Vanden Berk et al. (2001)

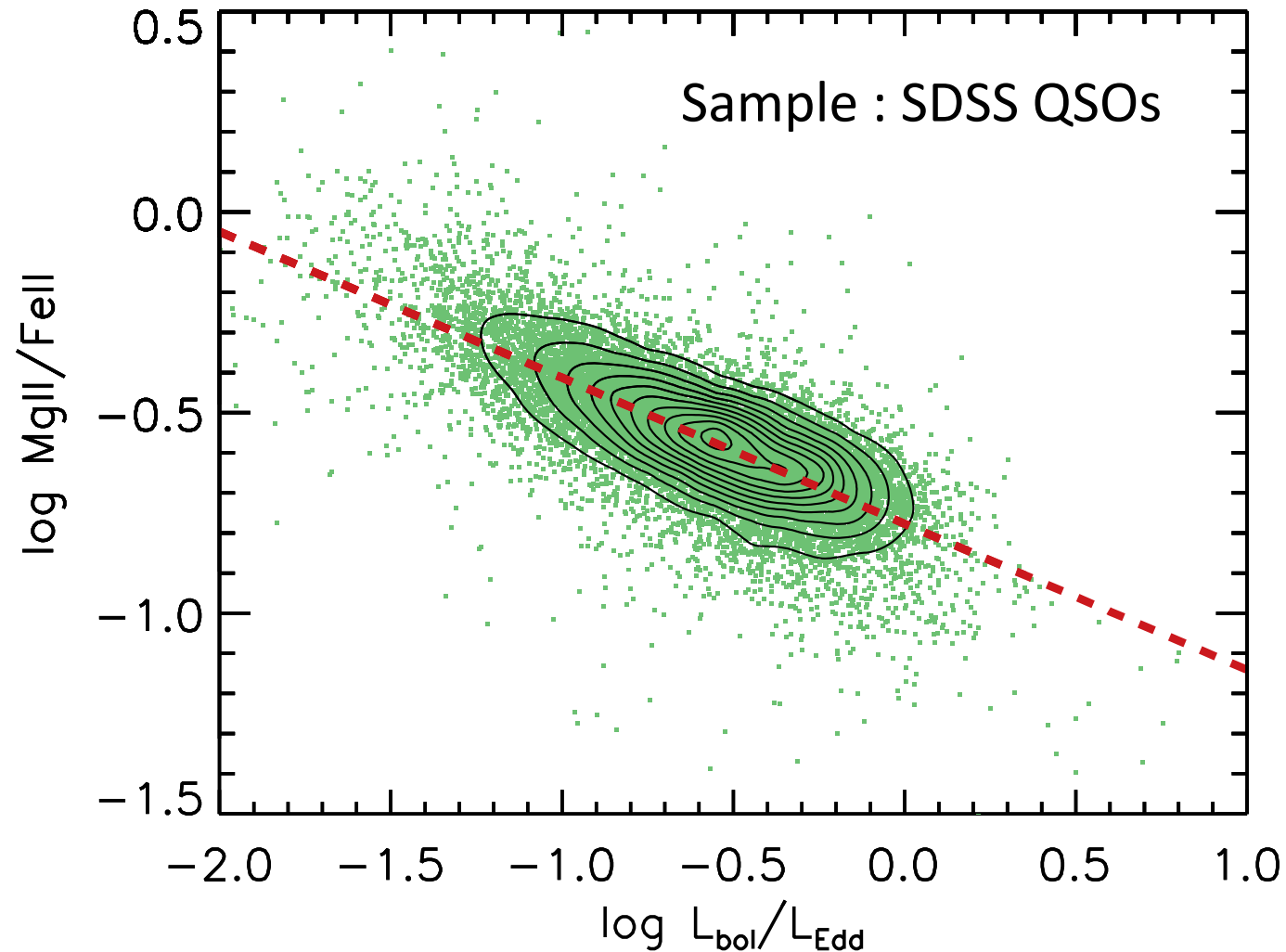


Fell/MgII Flux Ratio versus Redshift





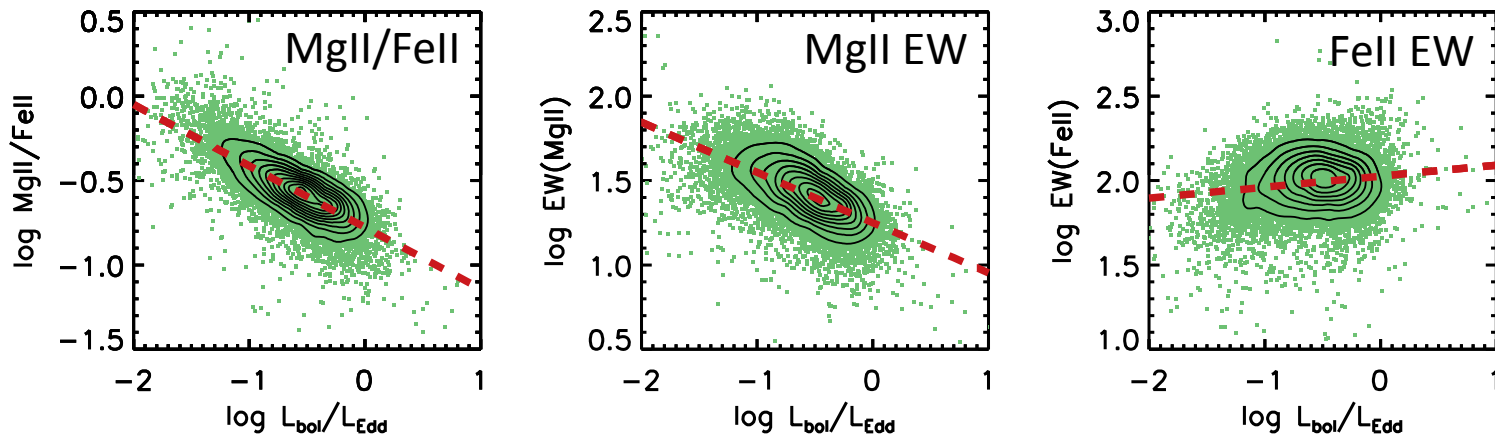
Non-abundance Effects on the Flux Ratio



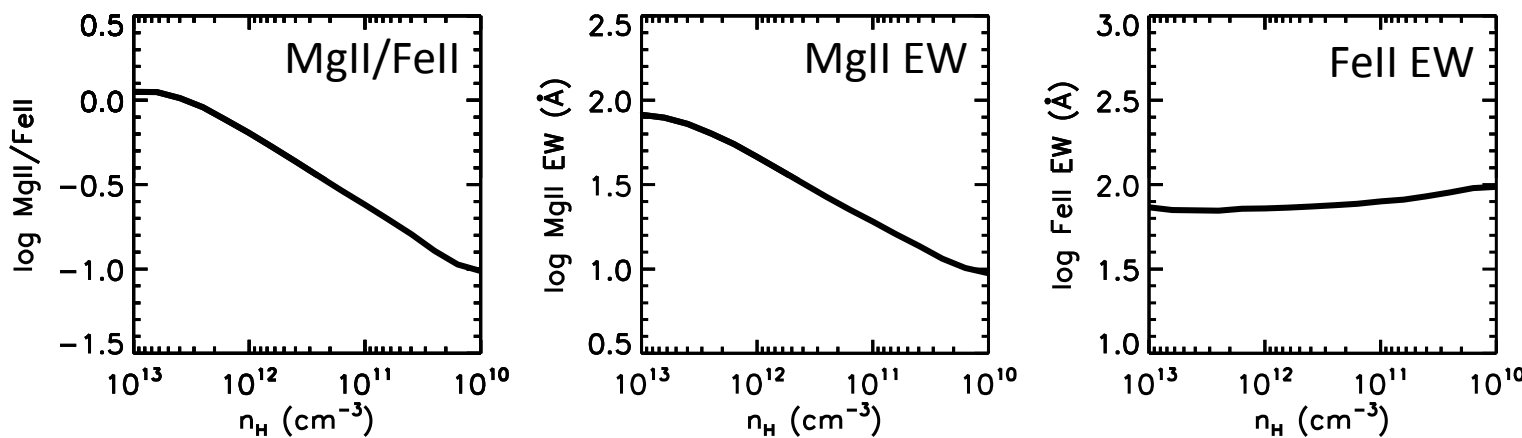


Comparison with Photoionization Calculation

Observation

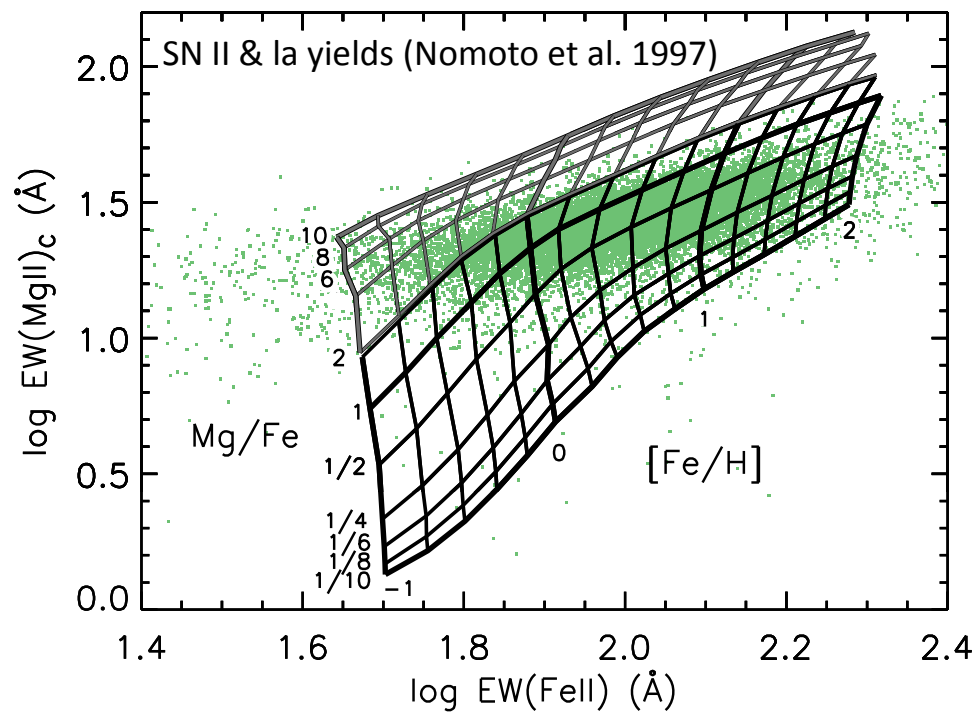


Calculation (CLOUDY photoionization code ver.13.02, Ferland+13)





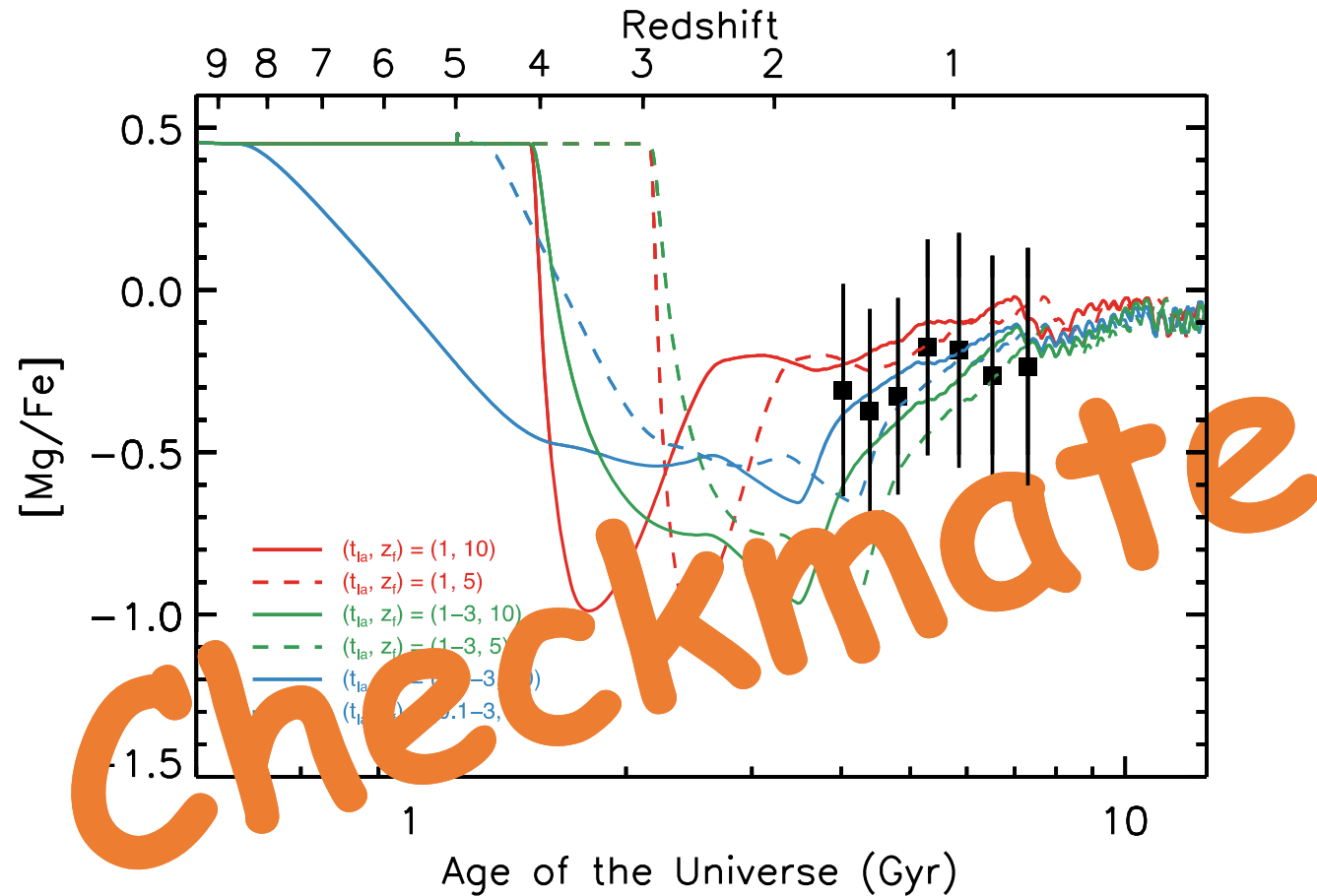
Abundance Diagnostics with QSO Emission Lines



Nomoto et al. (1997a, b)
の SN yields pattern を
組み入れて、CLOUDY で
輝線強度を計算。



Chemical Evolution of the Universe



TAO は $z \sim 7$ まで化学進化を解明する



Key Science 2 :

Super MAGNUM

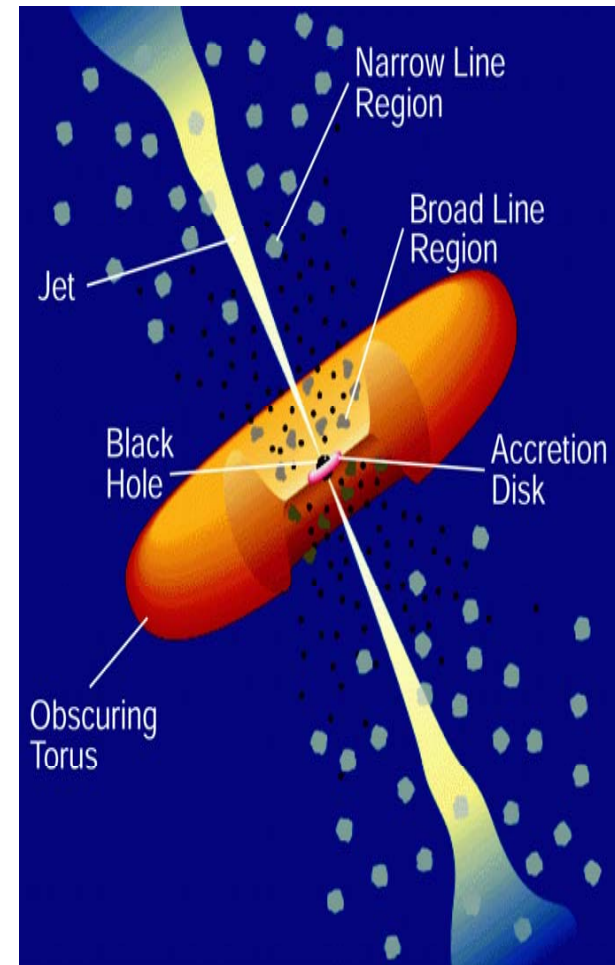
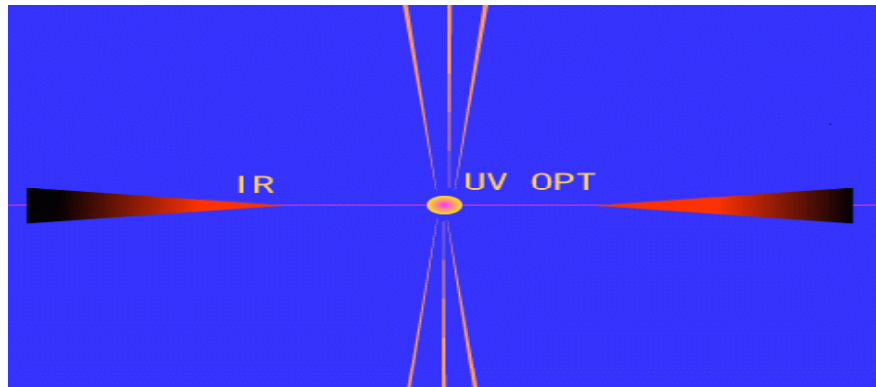
Far Distance Measurement Based on Reverberation Mapping of high-Z AGN/QSO

TAO による Time Domain 研究



AGN Geometrical Structure

- AGN Unified Model
Accretion Disk, BLR, Dust Torus
- Reverberation Mapping
 $L \propto \Delta t^2 \propto R^2$
 Δt (dust) > Δt (BLR)
confirmed by MAGNUM



C.M. Urry and P. Padovani



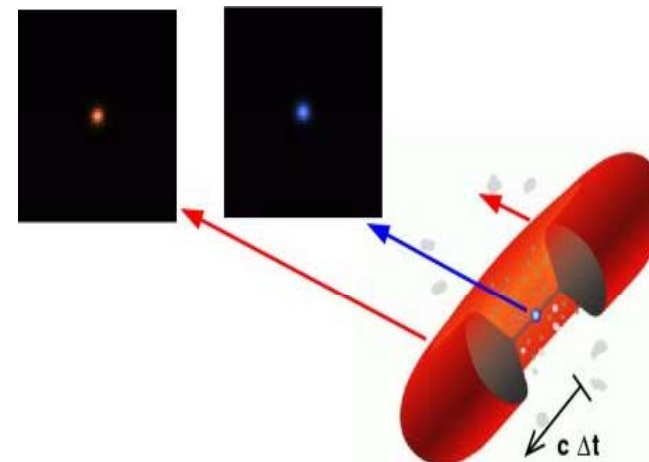
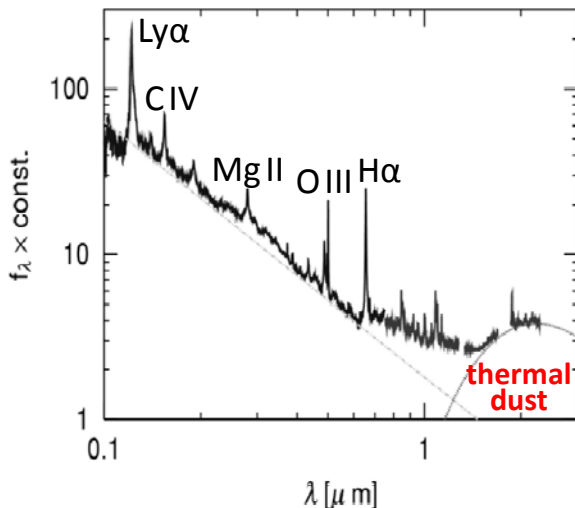
MAGNUM Distance Determination

Basic equation for luminosity distance d_L to an object at redshift z

$$f_\lambda = \frac{1}{4\pi d_L^2} \frac{L_{\lambda/(1+z)}(z)}{1+z}$$

Energy balance equation for a dust grain

$$\pi a^2 \int_{\text{UV}} u_\lambda c Q_\lambda d\lambda = 4\pi \cdot \pi a^2 \int_{\text{NIR}} Q_\lambda(a) B_\lambda(T_g) d\lambda$$



Three parameters in a dust reverberation model

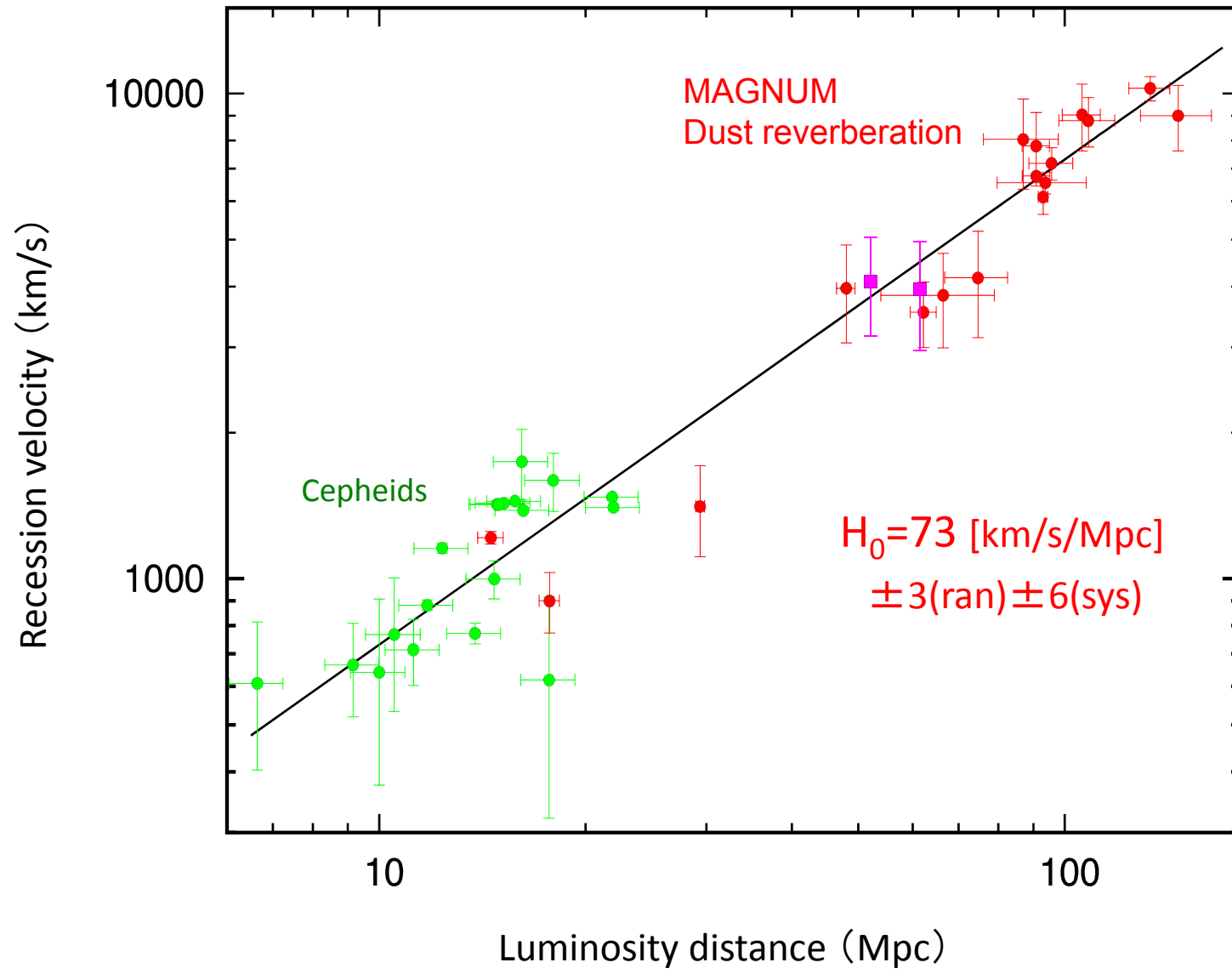
$\alpha = -0.45 \pm 0.2$ power-law index of AGN SED ($f_\nu \propto \nu^\alpha$)

$T_g = 1700 \pm 50$ K sublimation temperature of dust grain

$\langle a \rangle \doteq 0.1$ radius of dust grain



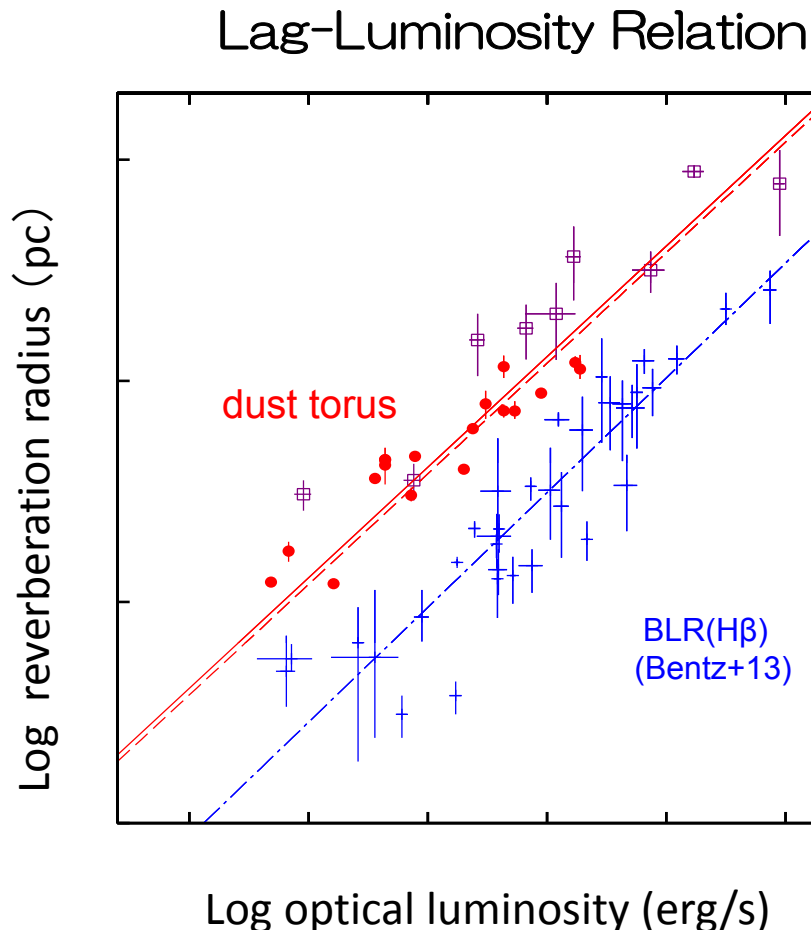
Hubble Diagram



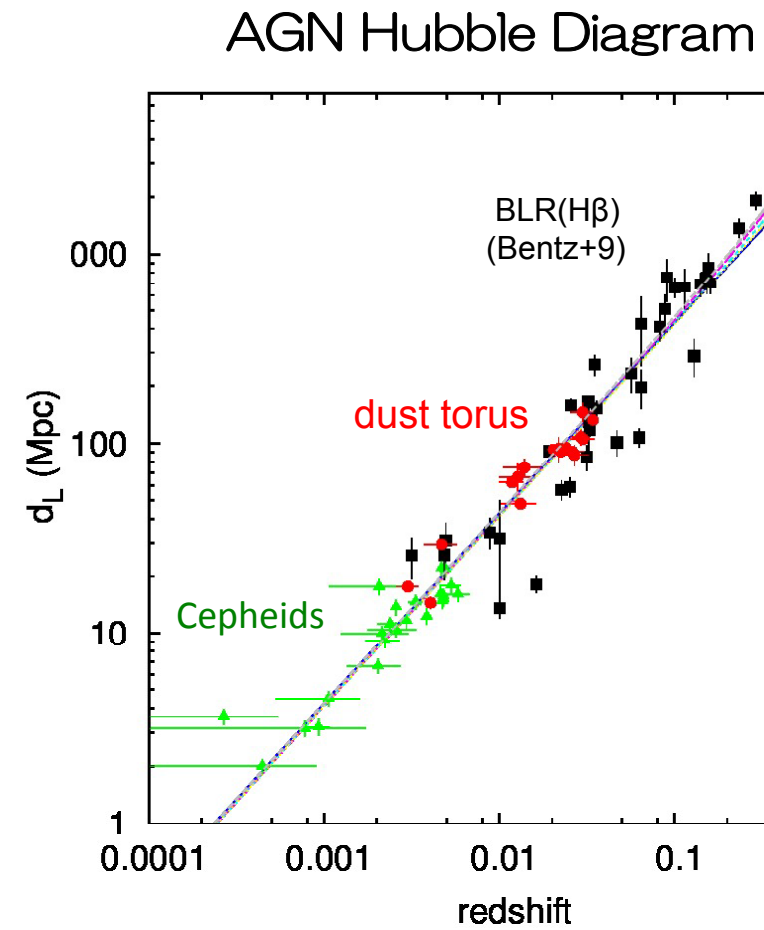
Yoshii+14



Reverberation Mapping Result



Koshida +14



Watson +11



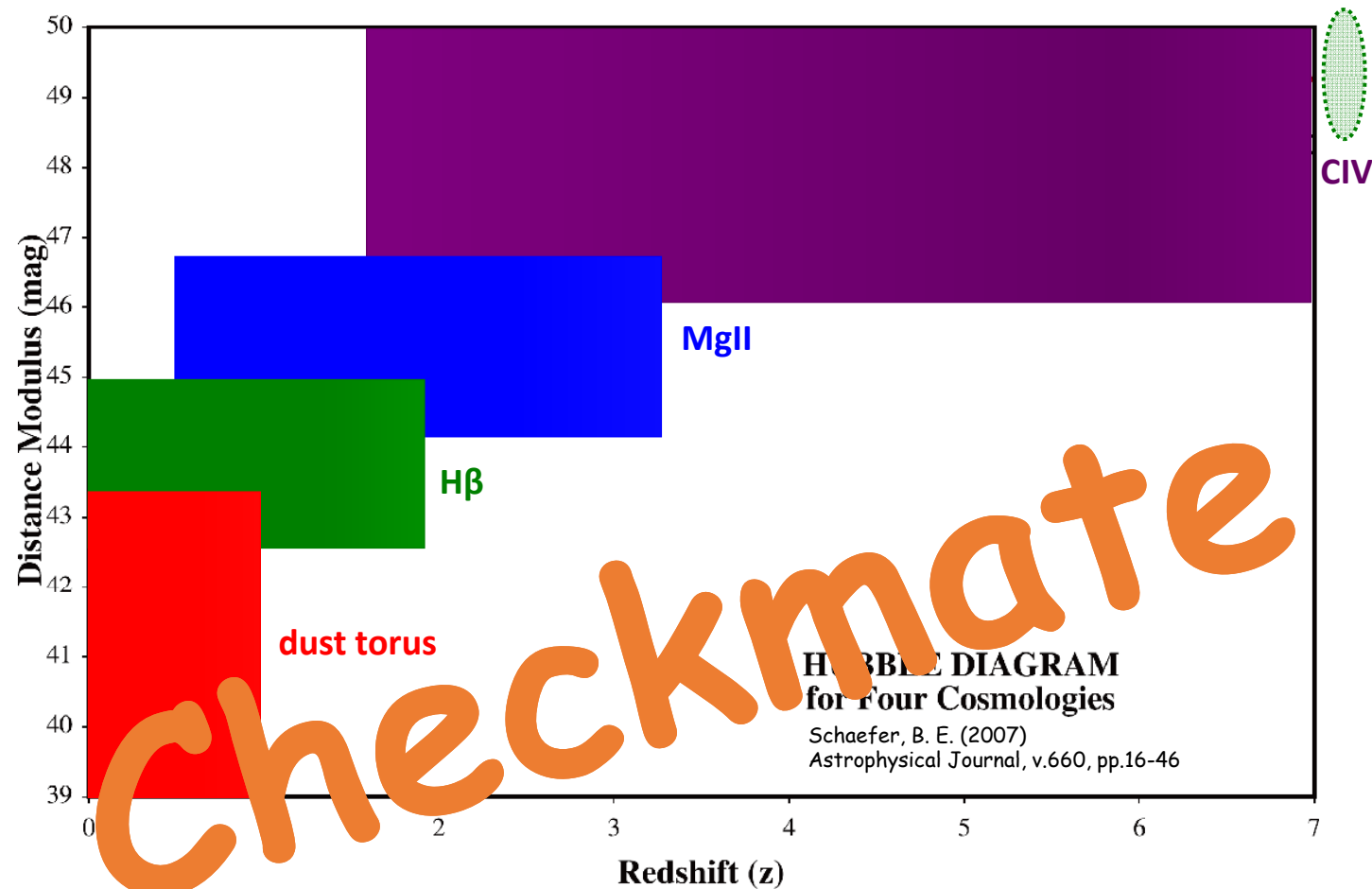
Methods of Distance Determination

	Dust torus	BLR ($H\beta$, MgII)	BLR (CIV)	Accretion disk
Method	Direct	Empirical	Empirical	Direct
Quality	○	Promising	Promising	✗
Targets	Seyferts~QSOs	Seyferts~QSOs	QSOs	Seyferts only
Wavelength (rest frame)	$\sim 1\text{-}2.2 \mu\text{m}$	$0.49 \mu\text{m} (H\beta)$ $0.28 \mu\text{m} (\text{MgII})$	$0.155 \mu\text{m} (\text{CIV})$	$0.2\text{-}0.8 \mu\text{m}$
Lag (rest frame) (@ 10^{44}erg/s)	$\sim 140 \text{ days}$	$\sim 40 \text{ days}$	$\sim 15 \text{ days}$	$\sim 1\text{-}2 \text{ days}$
$z=1$	$2\text{-}4.4 \mu\text{m}$ 280 days	$0.98 \mu\text{m} / 0.56 \mu\text{m}$ 80 days	$0.31 \mu\text{m}$, 30 days	$0.4\text{-}1.6 \mu\text{m}$ $\sim 3 \text{ days}$
$z=2$	$3\text{-}6.6 \mu\text{m}$ 420 days	$1.47 \mu\text{m} / 0.84 \mu\text{m}$ 120 days	$0.47 \mu\text{m}$ 45 days	$0.6\text{-}2.4 \mu\text{m}$ $\sim 4.5 \text{ days}$
$z=4$	$8.0\text{-}11 \mu\text{m}$ 700 days	$2.45 \mu\text{m} / 1.40 \mu\text{m}$ 200 days	$0.78 \mu\text{m}$ 75 days	$1.0\text{-}4.0 \mu\text{m}$ $\sim 7.5 \text{ days}$



Far Distance Measurement

ULAS J1120+0641
($z = 7.09$)



TAO は $z \sim 7$ まで距離を測定する

2年後の First Light を ご期待ください

